Clumpy Starburst in a Local Dwarf Galaxy, NGC 1522

Liuze Long et al. 2025: https://arxiv.org/abs/2505.10078

GAゼミ　2025. 05.27 鈴木陸斗

[アブスト]

本論文は、近傍の(9.3Mpc離れた)青色コンパクト矮小銀河(BCD)NGC 1522における星形成の過程を解明することを目的とし、VLT/MUSEの面分光（IFU）観測データを用いて解析を行った。中央領域には星形成が活発な“クランピー（塊状）”なリング構造があり、9つの星形成クランプがHα輝線から特定された。これらは合計で約0.1 $M_\odot\ yr^{-1}$の星形成率（SFR）を示し、極端な星形成例(スターバースト)として位置づけられる。酸素の金属量分布に正の勾配、N/O比の低さが観測されており、外部からの金属の乏しいガスの流入が星形成を駆動している可能性が示唆された。NGC 1522における現在進行中の星形成活動が、金属量の少ない外部ガスの流入によって引き起こされ、維持されている可能性を示している。

[オリジナリティ]

これまでのNGC 1522研究では不十分だった星形成の局所的性質を、MUSEの空間分光データを用いて高精度で解析

[ゴール]

矮小銀河NGC 1522における星形成の過程を解明

[データ]

データ取得：
観測装置：Very Large Telescope(VLT)/Multi Unit Spectroscopic Explorer (MUSE)
対象範囲：中心63″ ×63″ 、露出時間1.2時間
スペクトル範囲：4600–9350Å、分解能1.25Å
観測時のシーイング：0.5″
データ処理：MUSE専用リダクションソフト、Astrodendroによるクランプ検出

分析手法：
スペクトルフィッティング：pPXF（Penalized PiXel-Fitting）
放射線診断：BPT図（[OIII]/Hβ vs. [NII]/Hα など）
金属量評価：O3N2(Alloin et al. 1979)・N2(Raimann et al. 2000) index
　　酸素量（12 + log(O/H)）(Marino et al. 2013)
N/O比評価：N2S2インデックスによる経験則から算出

[結果]

1.クランピーな星形成リング(図1)：
中心から半径300pcにわたって9個の星形成クランプを検出。
各クランプのSFRは最大で17×10^{-3} $M_\odot\ yr^{-1}$、合計で0.098 $M_\odot\ yr^{-1}$。

2.金属量とN/O比の分布(図4と図10)：
クランプは銀河全体に比して0.2〜0.3 dex低い金属量。
N/O比は空間的に平坦で、クランプ周辺でも高くない。
金属量とSFR密度の間に反相関あり。

3.イオン化源と力学(図3)：
BPT図では主に若い星からのUV光がイオン化源。
一部、AGN様のライン比も確認されたが、実際はDIGやショック、自己エンリッチメントの影響と推定。

4.運動学的構造(図9)：
Hαおよび[OIII]輝線による速度場から回転運動が観測されるが、最大でも40〜60 km/s程度と小規模。
合体・衝突による撹乱の兆候なし。

5.外部金属乏しいガスの流入仮説：
非対称な星形成分布や金属量の低下は、合体ではなく外部からの金属乏しいガスの流入で説明可能。
Hα輝線と金属量、N/Oの関係から、ガス流入が星形成を持続させている証拠が得られた。

図1

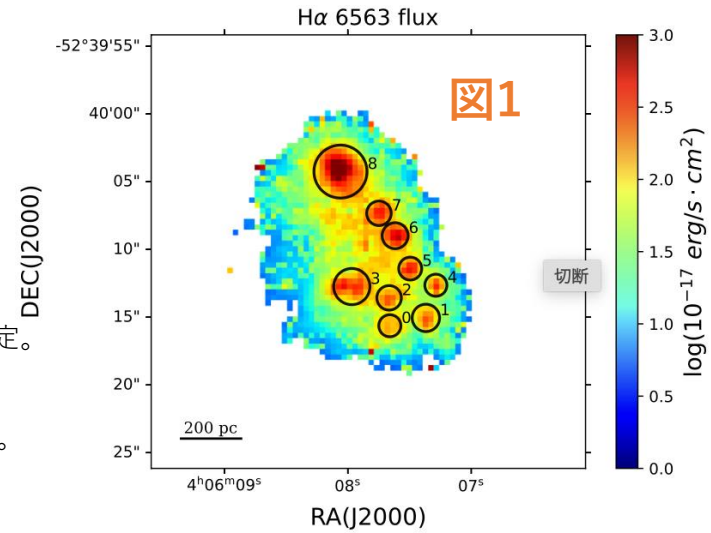
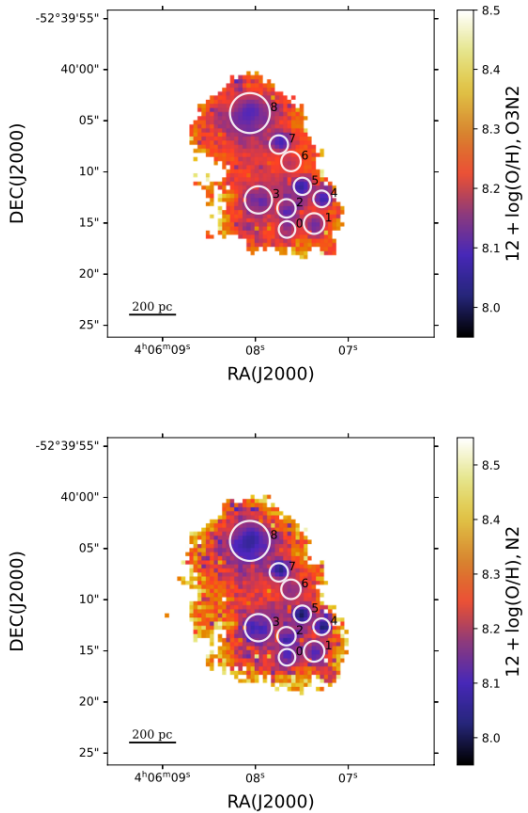


図4 金属量map



[コメント]

星に分解できる距離のBCDってあるの？他のBCDと比較した時このクランピーな構造はどうなの？HIガス分布も見てみたい

表1 NGC 1522について

Property	
RA (J2000)	04h06m07.92s
DEC (J2000)	-52d40m06.30s
Distance/Mpc[(1)]	9.3
Inclination angle/°	59.6
$z^{(2)}$	0.0030
$12 + \log(O/H)^{(3)}$	8.20 ± 0.12
$\log_{10}(M_*/M_\odot)^{(4)}$	8.32 ± 0.05
$SFR/M_\odot\ yr^{-1}$	0.098 ± 0.003
$\log_{10}(M_{HI}/M_\odot)^{(5)}$	8.40

NOTE—(1) Lee et al. (2010); (2) Amblard et al. (2014); (3) Masegosa et al. (1994); (4) Dale et al. (2023); (5) Nicholls et al. (2011).

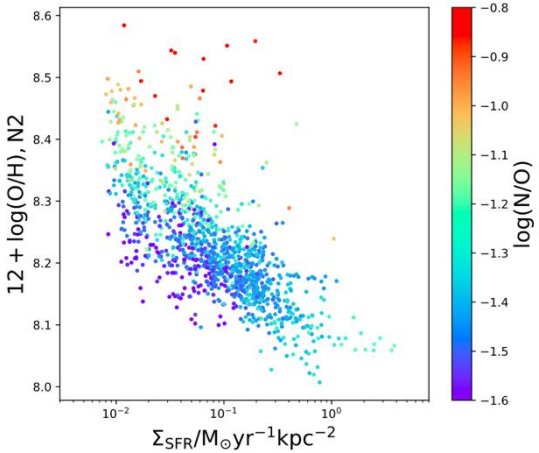
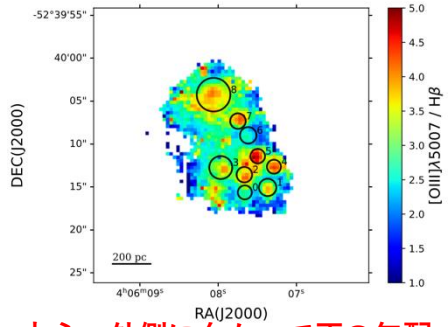
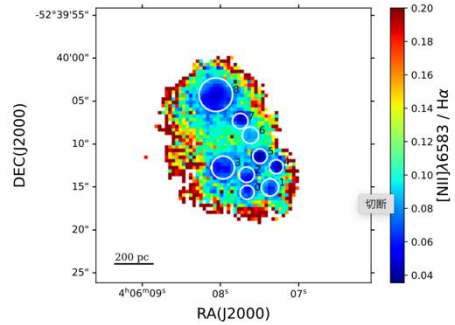


図10 N2金属量とSFR面密度（ΣSFR）の関係

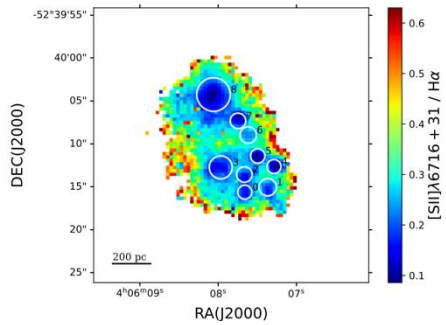
中心→外側に向かって正の勾配



中心→外側に向かって正の勾配



中心→外側に向かって正の勾配



中心→外側に向かって正の勾配

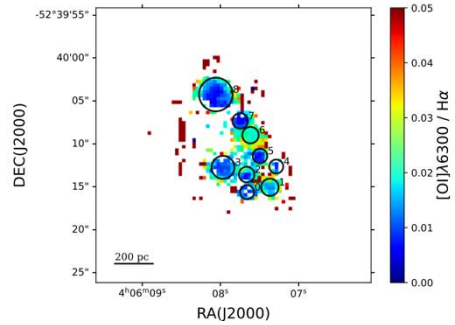
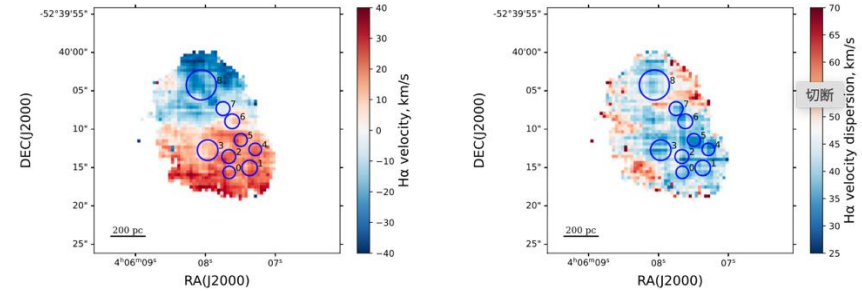


図2　電離ガスの輝線比マップ



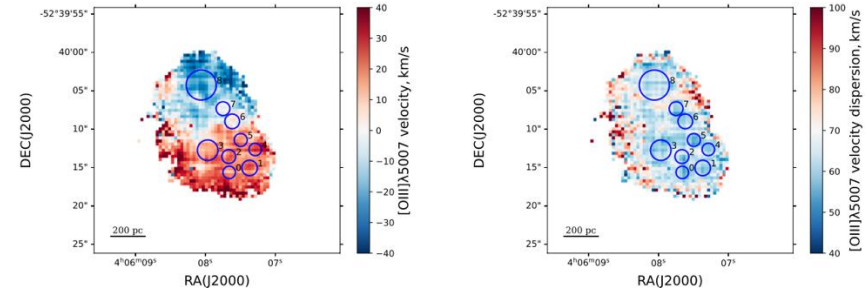
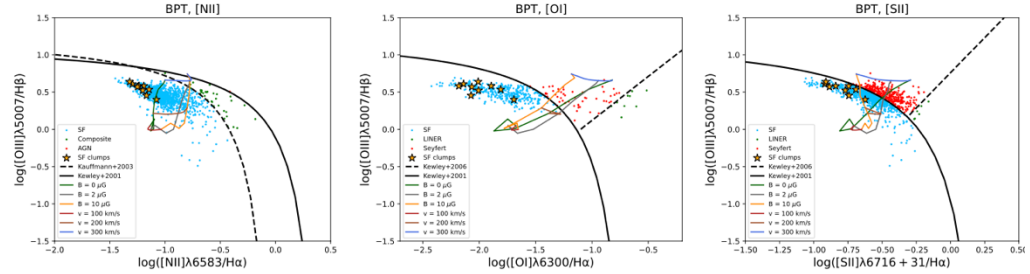


図9　視線速度map



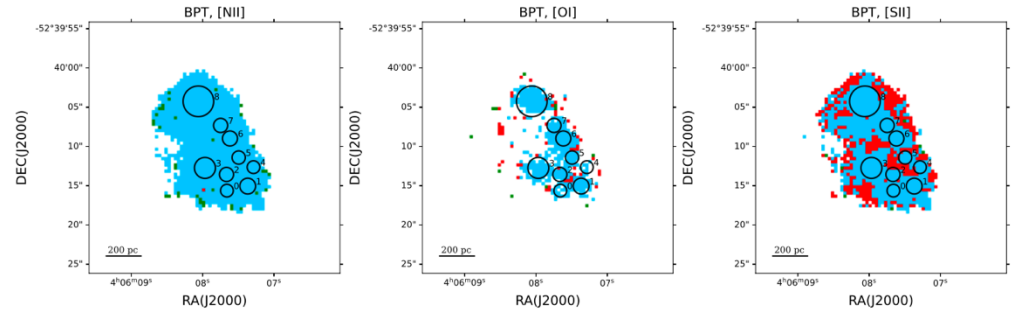


図3 BPT図(空間ピクセル単位)